

بِسْمِ اللّٰهِ الرَّحْمٰنِ الرَّحِيْمِ



# مبانی پردازش غیرخطی سیگنال

## الکتروانسفالوگراف

( ویژه دانشجویان مهندسی پزشکی، فیزیک پزشکی، انفورماتیک پزشکی )

### گردآوری و تدوین:

مهندس صالح لشکری

مهندس محمد راوري

مهندس فاطمه اسدالله زاده شمخال

انتشارات ارسسطو ( چاپ و نشر ایران )

۱۳۹۴

شابک: ۹۷۸-۷۵-۷۹۴۰-۶۰۰-۹۷۸

شماره کتابشناسی ملی: ۳۹۸۶۰۶۴

عنوان و نام پدیدآور: مبانی پردازش غیرخطی سیگنال الکتروانسفالوگراف (ویژه دانشجویان مهندسی پزشکی ... / گردآوری و تدوین صالح لشکری، محمد راوری، فاطمه اسداللهزاده شمخال).

مشخصات نشر: مشهد: ارسطو، ۱۳۹۴.

مشخصات ظاهري: ۱۳۹۴ ص: مصور (بخشی رنگی)، جدول، نمودار (بخشی رنگی).

يادداشت:

كتابنامه: ص. ۱۳۱ - ۱۳۴.

موضوع: الکتروانسفالوگرافی

موضوع: پردازش سیگنال ها

رده بندی دیوبی: ۸۰۴۷۵۴۷/۶۱۶

رده بندی کنگره: RC ۱۳۹۴ ۶/۳۸۶ الف /

سرشناسه: لشکری، صالح، ۱۳۶۴ -

شناسه افروده: راوري، محمد، ۱۳۶۰ -

شناسه افزوده: اسداللهزاده شمخال، فاطمه، ۱۳۷۰ -

وضعیت فهرست نویسی: فیبا

نام کتاب : مبانی پردازش غیرخطی سیگنال الکتروانسفالوگراف

مؤلفان : صالح لشکری - محمد راوري - فاطمه اسدالله زاده شمخال

ناشر : ارسطو (چاپ و نشر ایران)

صفحه آرایی ، تنظیم و طرح جلد : پروانه مهاجر

تیراز : ۱۰۰۰

نویت چاپ : اول - ۱۳۹۴

چاپ : مهتاب

قیمت : ۸۵۰۰ تومان

شابک: ۹۷۸-۶۰۰-۷۹۴۰-۷۵-۴

تلفن های مرکز پخش : ۰۵۱ - ۳۵۰۹۶۱۴۶ - ۳۵۰۹۶۱۴۵

[www.chaponashr.ir](http://www.chaponashr.ir)

باشگاه پژوهشگران جوان، واحد مشهد، دانشگاه آزاد اسلامی، مشهد، ایران

Young Researcher Club, Mashhad Branch, Islamic Azad University, Mashhad, Iran

## فهرست مطالب

---

۱۱	.....	پیش گفتار
۱۹	.....	فصل اول: مبانی سیگنال‌های مغزی و نحوه ثبت آن‌ها
۱۹	.....	۱-۱ مقدمه
۲۰	.....	۲-۱ سیگنال‌های مغزی
۲۳	.....	۳-۱ استانداردهای ثبت سیگنال EEG
۲۳	.....	۳-۲ الکتروودگزاری و استاندارد ۲۰-۱۰
۳۳	.....	۴-۱ ریتم‌های EEG انسان بالغ در بیداری
۳۴	.....	۴-۱-۱ امواج بتا
۳۴	.....	۴-۱-۲ امواج آلفا
۳۵	.....	۴-۱-۳ امواج تتا
۳۵	.....	۴-۱-۴ امواج دلتا
۳۵	.....	۵-۱ امواج میوی رولاندیک
۳۶	.....	۶-۱ محدوده فرکانسی حملات صرع
۳۷	.....	۷-۱ پتانسیل‌های مغزی وابسته به رخداد
۴۱	.....	۷-۱-۱ N100: پاسخ جهت‌دهی اولیه و توجه انتخابی
۴۲	.....	۷-۱-۲ N200: ارزیابی حریک
۴۳	.....	۷-۱-۳ N400 و ERP‌های وابسته به زبان
۴۴	.....	۷-۱-۴ P300
۴۸	.....	۷-۱-۴-۱ Oddball برای استخراج الگوی P300

۴۹	.....	Bootstrapping ۱-۷-۲-۴ روشن
۴۹	.....	۱-۸ پتانسیل‌های DC در سیگنال‌های الکتریکی مغز
۵۱	.....	فصل دوم: ضرورت پردازش غیرخطی سیگنال الکتروانسفالوگراف
۵۱	.....	۲-۱ مقدمه
۵۲	.....	۲-۲ ضرورت پردازش غیرخطی سیگنال EEG
۵۹	.....	فصل سوم: پردازش غیرخطی سیگنال الکتروانسفالوگراف
۵۹	.....	۳-۱ مقدمه
۶۰	.....	۳-۲ بازسازی فضای فاز
۶۲	.....	۳-۲-۱ تأخیر زمانی
۶۵	.....	۳-۲-۲ بعد فضاسازی
۶۶	.....	۳-۲-۲-۱ نزدیک‌ترین همسایگی اشتباہ
۶۹	.....	۳-۲-۲-۲ تخمین بعد فضاسازی مبتنی بر بعد همبستگی
۶۹	.....	۳-۳ بعد همبستگی
۷۰	.....	۳-۳-۱ الگوریتم گراسبرگر و پروکاسیا
۷۳	.....	۳-۳-۲ تخمین ناحیه مقیاس
۷۴	.....	۳-۳-۳ مشتق مرتبه ۱ و ۲ منحنی $Cm(r)$
۷۶	.....	۳-۳-۲-۲ برازش خط بر تعدادی از نقاط منحنی $Cm(r)$
۷۸	.....	۳-۳-۲-۳ برازش خط بر تمام نقاط منحنی $Cm(r)$
۸۱	.....	۳-۳-۴-۲ میانگین فاصله بین میان همسایگی‌ها
۸۱	.....	۳-۳-۵-۲ کسری از انحراف معیار

۳-۳-۳ تعداد نمونه‌های لازم در محاسبه بعد همبستگی	۸۳
۴-۳ بعد فرکتال	۸۳
۱-۴-۳ محاسبه بعد فرکتال	۸۵
۱-۴-۳-۱ روش شمارش جعبه‌ای	۸۵
۲-۴-۳ روش هاییوچی	۸۶
۳-۴-۳ روش کتز	۸۸
۲-۴-۳ ارزیابی روش‌های محاسبه بعد فرکتال	۹۰
۳-۵ نمای لیپانوف	۹۰
۳-۶ آنتروپی	۹۵
۱-۶-۳ آنتروپی شنون و رینی	۹۶
۲-۶-۳ آنتروپی‌های دینامیکی	۹۸
۳-۶-۳ آنتروپی تقریبی	۱۰۱
۴-۶-۳ ویولت آنتروپی	۱۰۲
۳-۶-۵ اثر نویز و فرکانس نمونه‌برداری بر آنتروپی	۱۰۳
۷-۳ نگاشت‌های بازگشتی	۱۰۷
۱-۷-۳ الگو شناسی نمودارهای بازگشتی	۱۱۰
۲-۷-۳ آنالیزهای کمی بازگشتی (RQA)	۱۱۴
۳-۸ تحقیقات آنالیز غیرخطی بر روی سیگنال EEG	۱۱۶
فصل چهارم: جمع‌بندی و پیشنهادها	۱۲۱
مراجع	۱۳۱

## فهرست اشکال

شکل ۱-۱: مدل دو قطبی الکتریکی در مغز	۲۱
شکل ۱-۲: کاشت مجموعه الکترود بر سطح کورتکس	۲۲
شکل ۱-۳: محل قرار گرفتن کانال‌های ثبت سیگنال مغزی با استاندارد ۲۰-۲۰	۲۴
شکل ۱-۴: تعیین موقعیت کانال‌ها بر روی سر با فاصله‌یابی استاندارد ۱۰-۲۰	۲۶
شکل ۱-۵: محل قرار گرفتن کانال‌ها با سیستم تعمیم‌یافته ۱۰-۲۰	۲۷
شکل ۱-۶: امواج موجود در سیگنال EEG زیر ۳۵ هرتز	۳۶
شکل ۱-۷: نمایش مؤلفه‌های سیگنال ERP برای سه کانال Fz,Cz,Pz	۴۰
شکل ۱-۸: سیگنال P300 در اثر اعمال یک تحريك درکی نوعی. خط توپر این سیگنال را نمایش می‌دهد و خط چین سیگنال فاقد P300 را نشان می‌دهد	۴۷
شکل ۱-۹: الگوی تحريك‌های Oddball برای ثبت P300	۴۸
شکل ۱-۱۰: تغييرات سطح پتانسيل DC سیگنال EEG در يك حمله صرعی و نيز در آپنه و خفگی	۵۰
شکل ۱-۱۱: تئوري فضاسازی Takens و روش تأخير زمانی در بازسازی بستر جذب	۶۲
شکل ۲-۱: نمودار ميانگين اطلاعات متقابل بر حسب تأخير زمانی برای سیگنال EEG نرمال	۶۴
شکل ۲-۲: مقایسه دو روش تابع خودهمبستگی و ميانگين اطلاعات متقابل در تخمين تأخير زمانی	۶۵
شکل ۳-۱: بيانی ساده از روش نزدیک‌ترین همسایه نادرست	۶۸
شکل ۳-۲: تخمين بعد فضاسازی بهينه با روش FNN سیگنال EEG نرمال	۶۸
شکل ۳-۳: نمایشي از محاسبه جمع همبستگي	۷۲
شکل ۳-۴: لگاريتم جمع همبستگي بر حسب لگاريتم شاع که در آن شاهد نوسانات به ازاي شعاع‌های کوچک‌تر در بعد فضاسازی و ناحيه اشباع به ازاي شعاع‌های بزرگ‌تر هستيم	۷۳
شکل ۳-۵: تغييرات بعد همبستگي بر حسب تغييرات بعد فضا. ناحيه مقیاس در هر بعد فضاسازی از طریق بررسی تغییرات مشتق دوم بدست آمده است	۷۶
شکل ۳-۶: تغییرات بعد همبستگی بر حسب تغییرات بعد فضاسازی	۷۸
شکل ۳-۷: تغییرات بعد همبستگی بر حسب تغییرات شاع در مقیاس لگاریتمی که از طریق روش پیشنهادی به دست آمده است. نقطه زانویی مشخص شده است	۸۰
شکل ۳-۸: الف: نمودار شاخص BIS بر حسب بعد همبستگی به دست آمده از روش تخمين ۰.۷std. ب: نمودار شاخص BIS بر حسب بعد همبستگی به دست آمده از روش تخمين ميانگين فاصله. ج: شاخص BIS- بعد همبستگی روش تخمين ثابت	۸۲

۱۲-۳: محاسبه بعد فرکتال به روش شمارش جعبه	۸۵
شکل ۱۳-۳: محاسبه بعد فرکتال یک سری زمانی به روش هایوچی	۸۶
شکل ۱۴-۳: محاسبه بعد فرکتال سری زمانی به روش کتر	۸۸
شکل ۱۵-۳: ارزیابی سه روش در تخمین شمارش جعبه‌ای، هایوچی و کتر بعد فرکتال	۸۹
شکل ۱۶-۳: واگرایی نمایی تراژکتوری‌ها در فضای سه بعدی، فاصله اولیه $d_0$ باگذشت زمان به $d_N$ تبدیل شده است	۹۱
شکل ۱۷-۳: محاسبه نمای لیاپانوف به ازای دو تکرار متفاوت	۹۴
شکل ۱۸-۳ با محاسبه نمای لیاپانوف به روش دوم	۹۴
شکل ۱۹-۳: تراژکتوری مربوط به COP	۹۶
شکل ۲۰-۳: نمودارهای بازگشتی موج سینوسی(A)، آنتروپی هیستوگرام(B)، نمودار بازگشتی موج سینوسی با فرکانس نمونه برداری ۱۶۶ هرتز و نویز جمع شونده(C)، آنتروپی هیستوگرام سینوسی جمع شونده با نویز	۱۰۵
شکل ۲۱-۳(A) بخشی از مسیر حرکت فضای فاز سیستم لورنز (B) نمودار بازگشتی مربوطه	۱۰۹
شکل ۲۲-۳: نمایش نگاشت بازگشتی نوع دوم	۱۱۰
شکل ۲۳-۳: الگوی نگاشت بازگشتی	۱۱۲
شکل ۲۴-۳: نمایش فضای فاز به ازای الکترودهای مختلف مربوط به ۵ فرد سالم و ۵ فرد حین حمله	۱۱۷
صرعی	

## فهرست جداول

---

جدول ۱-۱: تعداد استانداردهای موجود به نسبت تعداد کانال در هر یک از مونتاژهای ثبت	۲۹
جدول ۱-۲: استانداردهای ثبت دوقطبی طولی	۳۰
جدول ۱-۳: استانداردهای ثبت دوقطبی عرضی	۳۱
جدول ۱-۴: استانداردهای ثبت تک قطبی	۳۲
جدول ۱-۵: نتایج تفکیک کلاس سالم و صرعی به ازای ویژگی‌های غیرخطی	۱۱۷
جدول ۱-۶: نتایج تفکیک سه کلاس نرمال، صرعی و بین حملهای	۱۱۹
جدول ۱-۷: نتایج طبقه‌بندی سه کلاس نرمال، صرعی و بین حملهای در دسته‌بندهای GMM و SVM	۱۲۰
جدول ۱-۸: نتایج بهینه در طبقه‌کننده‌های GMM و SVM	۱۲۰

## پیشگفتار

مبحث آشوب بالینکه از جوانترین شاخه‌های علم است، دارای سریع‌ترین توسعه نیز هست. جنبه‌های فراوانی از آشوب هنوز در انتظار کشف شدن هستند. مثلاً در پیش‌بینی‌ناپذیری ذاتی هوا و شرایط جوئی، چکیدن قطرات از شیر آب، حرکت چندوجهی سیارهای خاص، نوسان‌های جمعیتی و تولید مثل حیوانات، عملکرد مدارهای الکترونیکی، و حتی در دستگاه‌ها و بدن انسان مانند قلب و مغز به نظر می‌آید که نشانه‌هایی از رفتارهای آشوبناک حاکم باشند.

از نقطه نظر اطلاعات، سیگنال‌های نامنظم آشوب گونه بسیار غنی‌اند و نمی‌توان مانند سیگنال‌های متناوب، توصیفی فشرده از آن‌ها را به دست آورد. برخلاف سیگنال‌های متناوب که دارای طیف فرکانسی متشکل از امواج ضربه‌ای متساوی الفاصله یا غیرمساوی الفاصله هستند سیگنال‌های آشوبگونه دارای طیف فرکانسی پیوسته نظیر سیگنال‌های تصادفی‌اند.

با پیشرفت فناوری و علوم رایانه و در نتیجه توانایی انجام تحقیقات و مدل‌سازی به کمک رایانه در زمینه‌های مختلف می‌توان وجود و اثر آشوب را در پدیده‌ها مشاهده کرد

و پی به تأثیرات آن برد. به این نحو نه تنها امکان شناخت هرچه بیشتر سیستم‌ها فراهم می‌شود، بلکه نتایج مفید و مؤثری از قبیل موارد زیر حاصل خواهد شد:

- امکان توضیح و کشف علل بسیاری از حوادث و پدیده‌هایی طبیعی
- شناخت روندهای منتهی به آشوب و امکان کنترل و یا پیش‌گیری از وقوع آن
- توانایی پیش‌بینی حوادث غیر متربقه
- تشخیص علت پاره‌ای از بی‌نظمی‌ها
- تصحیح نظریات علمی و کشف قوانین جدید
- کاهش خطا و افزایش دقت
- درمان برخی از بیماری‌ها و ایجاد محیطی بهتر و سالم‌تر از نظر بهداشتی
- ایجاد خلاقیت در ابعادی جدید
- الگوبرداری از طبیعت
- تصحیح رفتار و عملکرد برخی از سیستم‌ها در جهت مطلوب

در نگرش‌های متداول تعاملات یا درنظر گرفته نمی‌شود و یا به صورت ثابت و از پیش تعیین‌شده به صورت ارتباطات خطی لاحظ می‌شوند. در حالی‌که دینامیک سیستمی همچون مغز، دائمًا در حال دگرگونی و پویایی و تغییر سطح تعاملات به صورت غیرخطی است.

در واقع مغز به دلیل ویژگی که در توانایی خلق اطلاعات دارد، یک سیستم کاملاً معین نیست. مغز یک سیستم کاملاً تصادفی نیست، زیرا در این صورت قادر نبودیم کاری براساس هدف انتخابی خود انجام دهیم. در واقع فعالیت مغز نتیجه تعامل میلیون‌ها سلول عصبی است و درجه آزادی آن در حد سیگنال تصادفی بالا نیست تا بتوان متغیرهای آن را مستقل فرض کرده و تعاملات نادیده گرفته شوند.

در این بین اشتباه بزرگی صورت گرفت این بودکه برای حل عدم قطعیت، احتمالات و شانس را وارد علم کرده و با در نظر گرفتن تابع توزیع احتمالی، سعی در حل مسئله عدم قطعیت کردند. با درنظر گرفتن تابع توزیع احتمال، بهنوعی قطعی گرایی را وارد کرده اند، در حالی که حالت سیستم در هر لحظه تلفیقی از تعیین و عدم تعیین است. در فضای عدم قطعیت پدیده، رفتار صرفاً پریودیک از خود نشان نداده و به منظور حفظ بقای ارگان، نیازمند رفتارهای متنوع اما در رنج محدود است. روش‌های پردازش متداول این سری‌های زمانی در سه حوزه اصلی زمان، فرکانس و زمان-فرکانس می‌باشند. در روش‌های تحلیل حوزه زمان، خواص آماری مانند متوسط و انحراف معیار سیگنال مورد بررسی قرار می‌گیرد. از رایج‌ترین روش‌های پردازش سیگنال EEG در حوزه فرکانس، تبدیل فوریه و محاسبه طیف توان است که در آن سیگنال به مؤلفه‌های سینوسی تجزیه شده و به صورت ترکیب خطی این سیگنال‌های پایه در نظر گرفته می‌شود. این روش‌ها برگرفته از تئوری سیستم‌های خطی بوده و براساس این پیش‌فرض که در جهت ساده‌سازی اتخاذ شده، به سیگنال اعمال می‌شوند. این در حالی است که مکانیسم‌های فیزیولوژیکی سازنده سیگنال EEG عموماً غیرخطی بوده و می‌توانند نوساناتی را ایجاد کنند که تجزیه آن‌ها به اجزاء خطی، بهترین روش برای توصیف آن‌ها نخواهد بود. از آنجاکه در روش‌های حوزه فرکانس-زمان، وقوع فرکانس‌ها در ابهام باقی می‌ماند از روش‌های زمان-فرکانس استفاده می‌شود. رایج‌ترین آن‌ها، تبدیل ویولت است که قابلیت همبستگی‌ها پردازش سیگنال‌های غیرایستان را دارا نیست.

اگرچه موفقیت این رویکردهای کلاسیک را نمی‌توان نادیده گرفت، اما از طریق ابزارهای غیرخطی قادر به تشخیص جنبه‌های ویژه از عملکرد سیستم‌های بیولوژیکی بوده که با استفاده از ابزار خطی، غیرقابل دسترسی می‌باشند. تحقیقات اخیر از توانایی این روش‌ها در توصیف دینامیک فرآیندهای حیاتی حکایت دارد. با استفاده از تئوری سیستم‌های

دینامیکی غیرخطی و از جمله سیستم‌های آشوبگونه، پدیده‌هایی همچون صرع، احساس و سایر پدیده‌های زیستی قابل تحلیل است. معیارهایی که برای شناخت آشوب و تعیین میزان پیچیدگی یک سیستم بکار می‌روند، به دو بخش عمده تقسیم می‌شوند. معیارهایی که بر اساس خصوصیات زمانی عمل می‌کنند و دسته دیگر معیارهایی هستند که به تعیین ویژگی‌های هندسی و مکانی فضایی که سیستم در آن بازسازی می‌شود، فضای فاز، می‌پردازند. هر یک از این دو دسته معیار، می‌توانند تغییرات خصوصیات دینامیکی سیستم را تشریح نمایند. نمای لیاپانوف و آنتروپی دو معیار زمانی پرکاربرد بوده و بعد همبستگی و بعد فرکتال از جمله ویژگی‌هایی هستند که از روی مکان هندسی نقاط از فضای فاز تعیین می‌گردند.

روش عمومی ثبت سیگنال‌های مغزی، ثبت به صورت پیوسته است. یعنی از فرد در طی حالت خاصی به طور پیوسته سیگنال گرفته می‌شود و تغییرات آن از طریق مشاهده چشمی یا روش‌های پردازشی مورد بررسی قرار می‌گیرد. به این نحوه از ثبت فعالیت مغز، الکتروانسفالوگرافی<sup>۱</sup>، EEG، گفته می‌شود.

چگونگی ثبت سیگنال EEG به علت دارا بودن اطلاعات مهم و در عین حال نویز و اغتشاشات زیاد از اهمیت بالایی برخوردار است. نویزهایی مانند آرتیفیکت‌های حرکتی، مشکلات رسانایی در الکترودگذاری، نویز برق شهر و اثرات ناشی از سایر سیگنال‌های حیاتی مانند ECG، EOG و... عواملی هستند که اهمیت چگونگی ثبت EEG را نشان می‌دهد. علاوه بر این موارد، نوع ثبت از نقطه نظر اینکه چه ویژگی‌هایی موردنظر است اهمیت دارد و این امر اهمیت مکان الکترودها را نشان می‌دهد. استانداردهایی برای مکان الکترودگذاری در ثبت EEG با هدف تعمیم الکترودگذاری تعریف شده‌اند که مهم‌ترین و عمومی‌ترین استاندارد موجود استاندارد ۲۰-۱۰ می‌باشد. در حال حاضر بیشتر ثبت‌های

<sup>۱</sup> Electroencephalography

دنیا با این استاندارد انجام می‌شود و تجهیزات الکتروآنسفالوگرام منطبق بر این استاندارد ساخته می‌شوند.

در سیگنال EEG، مؤلفه‌هایی با فرکانس‌های بسیار کم و بسیار زیاد دیده می‌شود که از نظر کلینیکی اهمیتی ندارند. به همین دلیل در نوار برداری عادی، محدوده کمتری از فرکانس‌ها در نظر گرفته می‌شود که از نظر فیزیولوژی اعصاب و روان دارای بیشترین اهمیت می‌باشد. می‌توان امواج مغزی را در چهار دسته دلتا، تتا، آلفا و بتا تقسیم‌بندی نمود.

در بعضی موارد، هدف بررسی فعالیت مغز در طی یک رخداد خاص مثلاً در پاسخ به یک تحریک است. اگرچه در این حالت هم پاسخ مربوط به آن وضعیت بر روی EEG ظاهر می‌شود، ولی از آنجاکه بخش‌های مختلف دیگری نیز همزمان بر روی مغز اثر دارند، تأثیر این رخداد خاص قابل تفکیک و بررسی جداگانه نیست. روش معمول سنتی در این حالت، تکرار حالت مورده بررسی و متوسط‌گیری سنکرون از سیگنال‌های مغزی ثبت شده طی مرتبه‌های تکرار شده است. در این حالت، با توجه به ماهیت شبه نویزی EEG در اثر متوسط‌گیری اثر آن، تضعیف شده و سیگنال‌های وابسته به رخداد که همگی با فاز مشابه به هم اضافه شده‌اند تقویت می‌گردند. به این سیگنال‌ها که به صورت مرتبط با یک رخداد تولید می‌شوند، پتانسیل‌های وابسته به رخداد، به اختصار ERP، گویند. عمدۀ ERP‌ها پاسخ‌هایی هستند که مغز در هنگام مواجهه با یک تحریک حسی از خود بروز می‌دهد. این تحریک حسی می‌تواند از طریق حواس مختلف به فرد وارد شود که حواس بینایی و شنوایی بیشترین مورد استفاده را دارد.

در زمینه تئوری آشوب کتاب‌های زیادی نوشته شده که برخی از آن‌ها به میزان زیادی از دیدگاه ریاضی و نه بر مبنای نتایج آزمایش‌های عملی با استفاده از مفاهیم فیزیکی

تدوین شده که البته به لحاظ ریاضی قوی و غنی آنها مورد توجه و درخور بهره‌برداری است. برخی دیگر از کتاب‌ها با تأکید روی سیستم‌های مکانیکی و هیدرولیکی، خصوصاً با محوریت رفتارهای نوسانی و نوسان‌سازهای غیرخطی نوشته شده و درنتیجه عمدتاً روی پدیده‌های انسان ساخته بنانهاده شده و بیشتر موردنیاز رشته‌های فیزیک و کاربرد مهندسی است.

گستره وسیعی از تحقیقات انجام شده در مقطع کارشناسی و تحصیلات تکمیلی گرایش‌های رشته برق و مهندسی پزشکی و همچنین رشته‌های فیزیک و بیوانفورماتیک پزشکی مبتنی بر روش‌های پردازش غیرخطی می‌باشد. در بسیاری از کتاب‌های تألیف شده در زمینه آشوب و همچنین پردازش سیگنال‌های حیاتی روی جنبه‌های نظری و فلسفی مفاهیم و روش‌ها تاکید شده و از طرح رویکردهای عملی و کاربردی پرهیز شده و مرجع مناسبی که بتوان از روی آن انتخاب مناسبی از میان روش‌های موجود داشت وجود ندارد. لذا این ضرورت احساس شد که کلیه روش‌های پردازش غیرخطی به چالش کشیده شود و علاوه بر طرح اساس و مفاهیم اساسی هرکدام از رویکردها، نتایج به دست آمده در کاربردهای عملی نظیر پردازش‌های انجام شده بر ثبت‌های کلینیکی مورد تجزیه و تحلیل قرار گیرد. در این کتاب سعی بر این است که به مقدار قابل قبول، نیاز مهندسان و محققان علوم طبیعی را در زمینه آشوب و کاربرد آن از جنبه تحلیل ریاضی و آزمایشگاهی خصوصاً مفهومی و نظری پوشش دهیم. امید داریم مفاهیم کلی مربوط به تئوری آشوب برای مهندسان و پژوهشگران رشته‌های فیزیک کاربردی، مهندسی پزشکی و حتی رشته‌های علوم پایه پزشکی و علوم توانبخشی در حد قابل قبول در اختیار بگذارد. این کتاب یک منبع درسی پایه‌ای و کاربردی برای مهندسان و پژوهشگران علوم طبیعی در زمینه پردازش سیگنال‌های آشوب‌گونه است که بر مبنای مقالات و پایان‌نامه‌های حاصل از تحقیق درباره سیگنال الکتروانسفالوگرام و پردازش‌های انجام شده

بر روی آن تدوین شده است. سعی کرده‌ایم تا حد امکان خود را از ریاضیات پیچیده دور نگه‌داریم اما در عوض، تأکید اصلی را روی مفاهیم و اصول فیزیکی و روابط علت و معلولی در فضای عدم قطعیت حتی در مورد سیستم‌های غیرخطی قطعی گذاشته‌ایم.

فصل این کتاب با استفاده از اطلاعات مبتنی بر تحقیقات، انجام پژوهشها و پایان‌نامه‌ها تنظیم و تدوین شده و بیشتر جنبه تألیفی دارد و حتی المقدور از گردآوری و ترجمه منابع پرهیز شده است.

در فصل اول معرفی انواع سیگنال‌های الکتریکی مغز و چگونگی ثبت آن‌ها و استانداردهای موجود در این زمینه پرداخته می‌شود. فعالیت‌های مغز انسان ماهیتی الکتریکی دارند از این‌رو سیگنال‌های الکتریکی در راستای بازیابی فعالیت‌های مغزی بیشترین کاربرد را دارند.

فصل دوم کتاب مشتمل بر پدیدارشناسی و معرفی آشوب و اصولاً جایگاه عدم قطعیت و محاسبات مبتنی بر قیاس (و نه مطلق‌گرایی) در تشریح خصوصیات و چگونگی دینامیک آشوب است. در این فصل، علاوه بر بیان خصوصیات سیستم‌های آشوبگونه و روش‌های محاسباتی مبتنی بر آن‌ها، تمایزات و تفاوت‌های این رویکردها در مقابل روش‌های کلاسیک موجود مورد بحث قرار خواهد گرفت.

در فصل سوم، ابتدا به چگونگی تشکیل فضای فاز مبتنی بر ثبت‌های کلینیکی می‌پردازیم. سپس روش‌های تخمین پارامترهای فضای فاز ارائه می‌گردد. مبتنی بر اطلاعات به دست‌آمده از فضای فاز و بستر جذب سیستم‌های آشوبگونه در این فضا شاخص‌های هندسی نظری بعد همبستگی و بعد فرکتال قابل تعریف است. علاوه بر این ویژگی‌های زمانی مانند آنتروپی و نمای لیاپانوف نیز در مقالات متعددی مورداستفاده قرار گرفته است. پس از روش‌های معرفی شده در بازسازی فضای فاز، به ترتیب

ویژگی‌های هندسی و زمانی در کمی‌سازی سری زمانی سیگنال‌های آشوبگونه معرفی می‌گردد و روش‌های تخمین مناسب برای سیگنال‌های زیستی و به‌ویژه سیگنال الکتروانسفالوگرام معرفی می‌گردد.

در فصل چهارم، به جمع‌بندی مطالب فصول پیشین پرداخته می‌شود و پیشنهاداتی در خصوص بهبود روش‌های تخمین ارائه می‌نماییم.

در انتها از انتشارات دانشگاه علوم پزشکی بجنورد و همچنین از معاونت پژوهشی این دانشگاه که چاپ این کتاب را میسر کردند، کمال تشکر و امتنان را داریم.

## گروه مؤلفان

صالح لشکری، محمد راوری، فاطمه اسدالله زاده شمخال

# فصل اول

---

## مبانی سیگنال‌های مغزی و نحوه ثبت آن‌ها

### ۱-۱ مقدمه

در بررسی هر فعالیتی که با مغز انسان در ارتباط است سیگنال‌های الکتریکی مغز نقش عمده‌ای دارند. فعالیت‌های مغز انسان ماهیتی الکتریکی دارند ازین‌رو سیگنال‌های الکتریکی در راستای بازیابی فعالیت‌های مغزی بیشترین کاربرد را دارند. البته روش‌های دیگری نیز از ثبت فعالیت‌های مغزی وجود دارند که از آن جمله می‌توان به ثبت سیگنال‌های مغناطیسی مغز<sup>۱</sup> (MEG) و نیز ثبت تصاویر فعالیت‌های توده‌ای کورتکس با استفاده از تکنیک‌های MRI<sup>۲</sup> و CT-SCAN اشاره کرد. این روش‌ها با اینکه اطلاعات

---

<sup>1</sup> Magnetoencephalography

<sup>2</sup> Magnetic Resonance Imaging

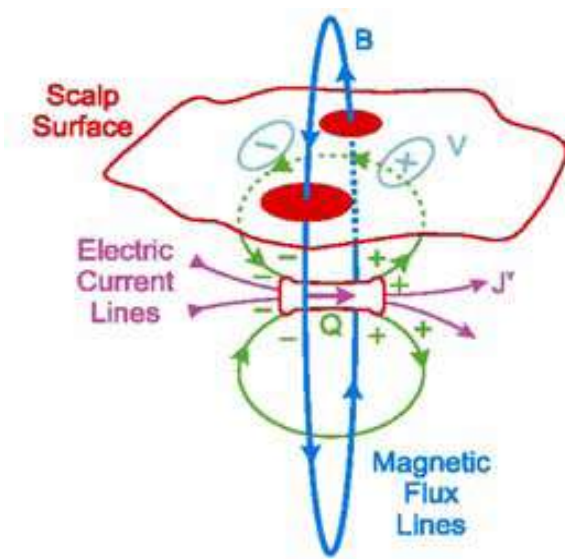
بیشتری از فعالیت‌های مغزی را در اختیار ما می‌گذارند ولی به علت هزینه زیاد به عنوان یک ثبت عمومی کاربرد ندارند.

در این فصل به معرفی انواع سیگنال‌های الکتریکی مغز، چگونگی ثبت آن‌ها و استانداردهای موجود در این زمینه پرداخته می‌شود.

## ۱-۲ سیگنال‌های مغزی

با توجه به ارتباط الکتریکی بین نورون‌های عصبی و ارسال اطلاعات عصبی بین قسمت‌های مختلف سیستم اعصاب مرکزی از طریق پالس‌های الکتریکی، این سیستم بسیار پیچیده را می‌توان به عنوان مجموعه‌ای از دو قطبی‌های الکتریکی بی‌شمار به حساب آورد که کلیه پردازش‌های ذهنی انسان در آن بروز می‌یابد.

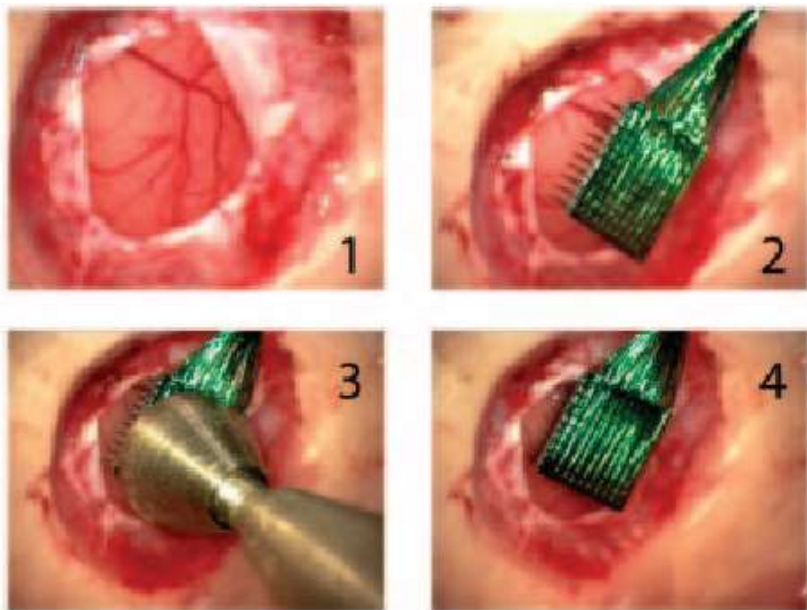
ثبت این فعالیت الکتریکی از طریق نصب الکترودهای مناسب بر روی پوست سر امکان‌پذیر است. البته باید توجه داشت که به دلیل تضعیف و فیلتر شدن سیگنال‌های رسیده به الکترودها و همچنین به دلیل هدایت حجمی جریان الکتریکی در داخل بافت مغز، سیگنالی که در هر الکترود ثبت می‌گردد، شامل اطلاعات مربوط به حجم وسیعی از بافت مغز و حاوی ترکیب پیچیده‌ای از اطلاعات مربوط به منابع الکتریکی موجود در این ناحیه است.



شکل ۱-۱: مدل دو قطبی الکتریکی در مغز.

اکثر امواج و فعالیت‌های الکتریکی که در یک نوار مغزی ثبت می‌شود از لایه فوقانی قشر مغز به خصوص شاخه‌های دندریتی سلول‌های هرمی و شاید نورون‌های ارتباطی موجود در این ناحیه سرچشممه می‌گیرند. این امواج بیانگر مجموعه‌ای از پتانسیل‌های متغیر پس سیناپسی تحریکی از یک طرف و پتانسیل‌های پیش سیناپسی مهاری از طرف دیگر است و به پتانسیل‌های عمل ارتباط ندارند. دندریت‌های فوقانی سلول‌های بزرگ هرمی بطور عمودی تا چند میلیمتر داخل قشر مغز به سوی بالا امتداد دارند و در این راستا، ارتباطات سیناپسی تحریکی در بالا و ارتباطات سیناپسی بازدارنده در پایین و نزدیک بدن سلول قرار می‌گیرند. بنابراین تغییرات پتانسیل گروهی در مسیر عبور از این دندریت‌ها سبب ایجاد اختلاف بار الکتریکی در جهت قائم می‌شود. از نظر الکتریکی قشر مغز را می‌توان به صورت مجموعه‌ای از ستون‌های عمودی به قطر یک میلی‌متر و یا کمتر در نظر گرفت که سلول‌های عصبی در آن به صورت توأم عمل می‌کنند و از دیلاریزاسیون همزمان و هماهنگ تعداد زیادی از این ستون‌ها، میدان الکتریکی به وجود می‌آید که

توسط الکترودهای سطح جمجمه یا سطح سر ثبت می‌شود (شکل ۱-۱). البته ثبت سیگنال‌های الکتریکی مغز به صورت ثبت داخل جمجمه‌ای توسط الکترودهای ویژه‌ای که به صورت کاشتنی بر روی کورتکس قرار می‌گیرند نیز صورت می‌پذیرد که دقت بیشتر داشته ولی ناحیه مکانی کمتری را تحت پوشش قرار می‌دهند (شکل ۲-۱).



شکل ۲-۱: کاشت مجموعه الکترود بر سطح کورتکس.

از نظر کمی، پهنهای پاسخ ضربه سیستم انتقال سیگنال از سطح مغز به روی پوست سر، حدود ۵/۲ سانتیمتر است؛ یعنی اگر فعالیت یک نورون در قشر مغز را به عنوان یک نقطه نورانی روی سطح مغز در نظر بگیریم تأثیر این منبع نور بر روی پوست سر، دایره‌ای به قطر ۵/۲ سانتیمتر را روشن خواهد کرد. بنابراین انتظار می‌رود که هر نقطه روی سر تحت تأثیر فعالیت نورون‌های موجود در یک دایره به قطر تقریبی ۵ سانتیمتر روی قشر مغز قرار گیرد. روش عمومی ثبت سیگنال‌های مغزی، ثبت به صورت پیوسته است. یعنی از فرد در طی حالت خاصی به طور پیوسته سیگنال گرفته می‌شود و تغییرات آن از طریق مشاهده

چشمی یا روش‌های پردازشی مورد بررسی قرار می‌گیرد. به این نحوه از ثبت فعالیت مغز، الکتروانسفالوگرافی<sup>۱</sup> (EEG) گفته می‌شود.

### ۱-۳- استانداردهای ثبت سیگنال EEG

چگونگی ثبت سیگنال EEG به علت دارا بودن اطلاعات مهم و در عین حال نویز و اغتشاشات زیاد از اهمیت بالایی برخوردار است. نویزهایی مانند آرتیفکت‌های حرکتی، مشکلات رسانایی در الکترودگذاری، نویز برق شهر و اثرات ناشی از سایر سیگنال‌های حیاتی مانند ECG، EOG و... عواملی هستند که اهمیت چگونگی ثبت EEG را نشان می‌دهد. علاوه بر این موارد، نوع ثبت از نقطه نظر اینکه چه ویژگی‌هایی موردنظر است اهمیت دارد و این امر اهمیت مکان الکترودها را نشان می‌دهد. استانداردهایی برای مکان الکترودگذاری در ثبت EEG با هدف تعمیم الکترودگذاری تعریف شده‌اند که مهم‌ترین و عمومی‌ترین استاندارد موجود استاندارد ۲۰-۱۰ می‌باشد. در حال حاضر بیشتر ثبت‌های دنیا با این استاندارد انجام می‌شود و تجهیزات الکتروآنسفالوگرام منطبق بر این استاندارد ساخته می‌شوند.

### ۱-۳-۱ الکترودگذاری و استاندارد ۱۰-۲۰

نام‌گذاری الکترودها شامل قوانین زیر است:

نام هر الکترود دارای یک حرف می‌باشد که بیانگر لوب (Lobe) قرار گرفتن آن و شامل:

<sup>۳</sup>F (فرونتال)، <sup>۴</sup>T (تمپورال)، <sup>۵</sup>C (سانترال)، <sup>۶</sup>P (پریتال)، <sup>۷</sup>O (اکسیپیتال) Fp<sup>۸</sup> (پری فرونتال)

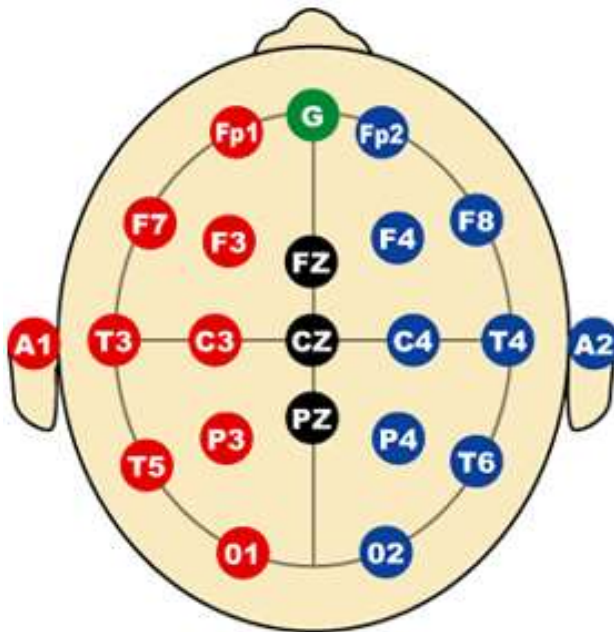
<sup>1</sup> Electroencephalography

<sup>2</sup> Frontal

می‌باشد.

نام هر الکترود با شماره‌ای مشخص می‌شود که اعداد زوج لوپ سمت راست و اعداد فرد لوپ سمت چپ را مشخص می‌کنند.

اندیس<sup>۶</sup> نمایانگر خط صفر یا محل اتصال دو لوپ سمت چپ و راست می‌باشد. هر چه فاصله از خط صفر (خط عبور کننده از بینی تا پس سر) بیشتر باشد عدد بزرگ‌تر اختصاص داده می‌شود.



شکل ۱-۳: محل قرار گرفتن کانال‌های ثبت سیگنال مغزی با استاندارد ۲۰-۱۰.

<sup>۱</sup> Temporal

<sup>۲</sup> Central

<sup>۳</sup> Parietal

<sup>۴</sup> Occipital

<sup>۵</sup> Frontopolar/Prefrontal

<sup>۶</sup> Zero

محل نصب الکترودها دارای قوانین زیر است:

سه نقطه ویژه از جمجمه برای نصب کلیه الکترودهای این سیستم کافی است. این سه نقطه شامل:

- ۱) پل بینی<sup>۱</sup>
- ۲) اینین<sup>۲</sup>، که برجستگی استخوانی بخش میانی منطقه پس سری است.
- ۳) نقطه‌ای در استخوان ماستوئید پشت گوش<sup>۳</sup>

مراحل پنج گانه نصب ۱۹ الکترود سیستم ۲۰-۱۰ به شرح زیر انجام می‌شود:

۱) فاصله بین Nasion و Inion روی خط میانی مغز اندازه‌گیری شده و الکترود Fp در فاصله ۱۰٪ بالای Nasion مشخص می‌شود. الکترودهای بعدی خط صفر (میانی) یعنی Pz، Cz، Fz و O در فاصله ۲۰٪ کل فاصله اندازه‌گیری شده بعد از Fp به ترتیب قرار می‌گیرند.

۲) فاصله بین دو نقطه ویژه پشت دو گوش اندازه‌گیری می‌شود. الکترود T3 در فاصله ۱۰٪ از استخوان ماستوئید پشت گوش و الکترود C3 در فاصله ۲۰٪ بعدی مشخص می‌شوند(روی لوب چپ). همین طور الکترودهای T4 و C4 نیز به شکل مشابه روی لوب سمت راست در محل قرینه قرار می‌گیرند.

۳) محیط سر که از Fp، O، T3 و T4 عبور می‌کند، اندازه‌گیری شده و الکترود Fp1 سمت چپ الکترود خط میانی Fp روی این محیط به فاصله ۵٪ محیط نصب می‌شود. با معلوم شدن الکترودهای F7، T5، T3، F1، T4، T6، O2، O1، F8 و

<sup>1</sup> Nasion

<sup>2</sup> Inion

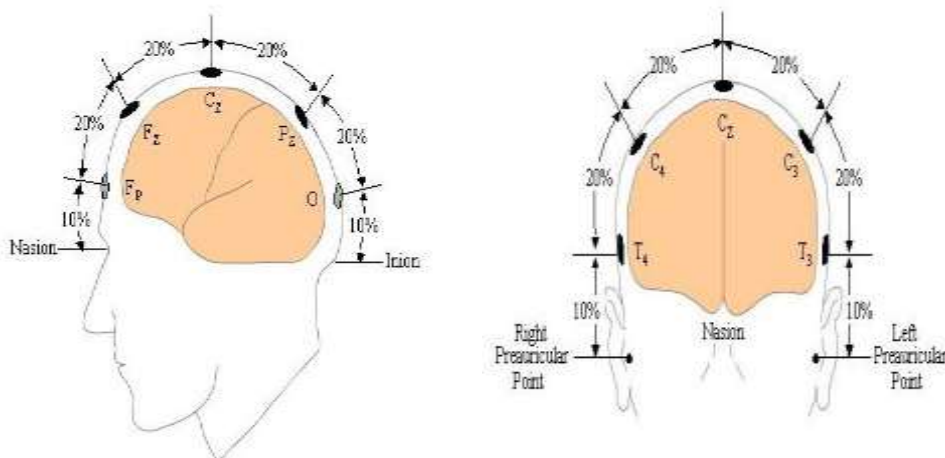
<sup>3</sup> Preauricular Point

Fp2 به فواصل برابر ۱۰٪ محیط دور جمجمه و روی خط محیط مشخص

می‌شوند.

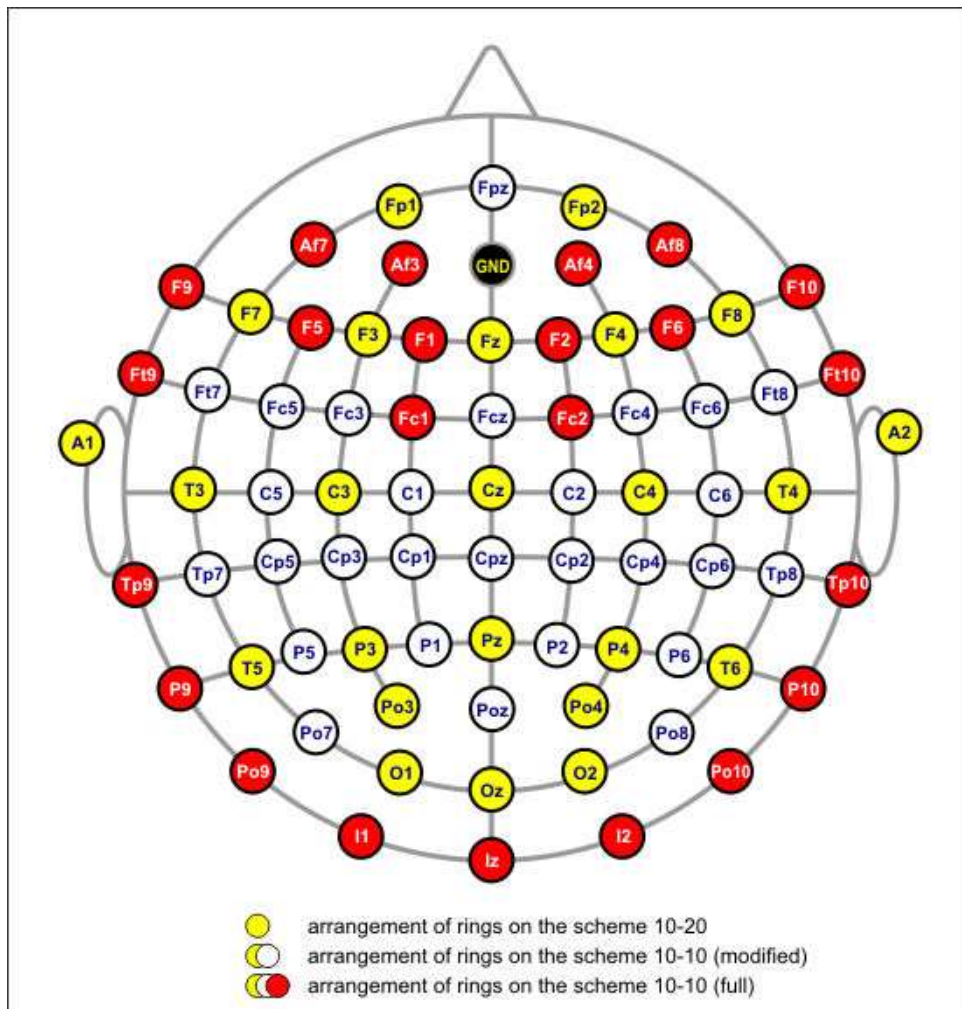
۴) نقطه میانی الکترودهای Fp1، C3 و نیز Fp2 و C4 روی لوب‌های چپ و راست مختصات طولی الکترودهای F3 و F4 را معلوم می‌کنند. همین‌طور نقطه میانی الکترودهای C3 و O1 روی لوب چپ، و C4 و O2 روی لوب راست مختصات طولی الکترودهای P3 و P4 را مشخص می‌کنند.

۵) نقطه میانی الکترودهای Fz و F7 روی لوب چپ و نیز Fz و F8 روی لوب راست مختصات عرضی الکترودهای F3 و F4 را معلوم می‌کنند. همین‌طور نقطه میانی الکترودهای Z و T5 و نیز Pz و T6 مختصات عرضی دو الکترود P3 و P4 را مشخص می‌کند. به این ترتیب محل دقیق الکترودهای P3، P4، F3 و F4 مشخص می‌شود. شکل ۱-۴ تعیین موقعیت الکترودها را بر روی سر در استاندارد ۱۰-۲۰ نشان می‌دهد.



شکل ۱-۴: تعیین موقعیت کانال‌ها بر روی سر با فاصله‌یابی استاندارد ۱۰-۲۰.

البته برای بررسی های دقیق تر در برخی موارد تحقیقاتی و یا کلینیکی به منظور بالا بردن رزولوشن فضایی از سیستم های تعمیم یافته ۲۰-۱۰ استفاده می شود.



شکل ۱-۵: محل قرار گرفتن کانال ها با سیستم تعمیم یافته ۲۰-۱۰.

## نحوه ثبت سیگنال از الکترودهای نصب شده

### ثبت دوقطبی<sup>۱</sup>

الکترودها یکی به صورت فعال و دیگری به صورت مرجع در نظر گرفته شده و به پایه های تقویت کننده تفاضلی وصل می شوند و اختلاف پتانسیل بین دو کanal اندازه گیری می شود.

### ثبت تک قطبی<sup>۲</sup>

تمامی کanal ها نسبت به مرجع یکسانی اندازه گیری می شوند. در برخی موارد، الکترود مرجع خاصی وجود ندارد بلکه ولتاژ مرجع از متوسط گیری ولتاژ تمامی کanal ها حاصل می شود. در بسیاری موارد اتصال دو گوش یا متوسط پتانسیل دو گوش به عنوان مرجع استفاده می شود. در این صورت پتانسیل ها مستقل از نیمکره غالب مغزی قابل بررسی هستند. استانداردهای رایج دنیا در ثبت نسبی پتانسیل ها به سه مونتاژ اصلی تقسیم می شود:

۱) دوقطبی طولی<sup>۳</sup>

۲) دوقطبی عرضی<sup>۴</sup>

۳) مرجعی<sup>۵</sup>

<sup>1</sup> Bipolar

<sup>2</sup> Monopolar

<sup>3</sup> Longitudinal Bipolar

<sup>4</sup> Transverse Bipolar

<sup>5</sup> Referential

تعداد استانداردهای موجود به نسبت تعداد کanal در هر یک از مونتاژهای مذکور در جدول ۱-۱ آمده است.

جدول ۱-۱: تعداد استانداردهای موجود به نسبت تعداد کanal در هر یک از مونتاژهای ثبت.

Number of channels	Longitudinal bipolar	Transverse bipolar	Referential	Total
20	1 (3)	1 (2)	1 (3)	3
18	1 (3)	1 (2)	1 (3)	3
16	1 (3)	1 (3)	1 (3)	3

در مونتاژ ۲۰ کanalه نسبت به مونتاژ ۱۸ کanalه، پتانسیل دو مکان دیگر نسبت به ثبت CZ می‌گردد. استانداردهای موجود در ثبت‌های تک قطبی، دو قطبی طولی و عرضی در جداول ۱، ۲-۱، ۳-۱ و ۴-۱ نشان داده شده است.

جدول ۱-۲: استانداردهای ثبت دوقطبی طولی.

**Longitudinal Bipolar Montages**

<i>Channel No.</i>	<i>LB-18.1</i>	<i>LB-18.2</i>	<i>LB-18.3</i>
1	Fp1-F7	Fz-Cz	Fp1-F7
2	F7-T7 (T3)	Cz-Pz	F7-T7 (T3)
3	T7 (T3)-P7 (T5)	Fp1-F3	T7 (T3)-P7 (T5)
4	P7 (T5)-O1	F3-C3	P7 (T5)-O1
5	Fp1-F3	C3-P3	Fp2-F8
6	F3-C3	P3-O1	F8-T8 (T4)
7	C3-P3	Fp2-F4	T8 (T4)-P8 (T6)
8	P3-O1	F4-C4	P8 (T6)-O2
9	Fz-Cz	C4-P4	Fp1-F3
10	Cz-Pz	P4-O2	F3-C3
11	Fp2-F4	Fp1-F7	C3-P3
12	F4-C4	F7-T7 (T3)	P3-O1
13	C4-P4	T7 (T3)-P7 (T5)	Fp2-F4
14	P4-O2	P7 (T5)-O1	F4-C4
15	Fp2-F8	Fp2-F8	C4-P4
16	F8-T8 (T4)	F8-T8 (T4)	P4-O2
17	T8 (T4)-P8 (T6)	T8 (T4)-P8 (T6)	Fz-Cz
18	P8 (T6)-O2	P8 (T6)-O2	Cz-Pz

<i>Channel No.</i>	<i>LB-16.1</i>	<i>LB-16.2</i>	<i>LB-16.3</i>
1	Fp1-F7	Fp1-F3	Fp1-F7
2	F7-T7 (T3)	F3-C3	F7-T7 (T3)
3	T7 (T3)-P7 (T5)	C3-P3	T7 (T3)-P7 (T5)
4	P7 (T5)-O1	P3-O1	P7 (T5)-O1
5	Fp1-F3	Fp2-F4	Fp2-F8
6	F3-C3	F4-C4	F8-T8 (T4)
7	C3-P3	C4-P4	T8 (T4)-P8 (T6)
8	P3-O1	P4-O2	P8 (T6)-O2
9	Fp2-F4	Fp1-F7	Fp1-F3
10	F4-C4	F7-T7 (T3)	F3-C3
11	C4-P4	T7 (T3)-P7 (T5)	C3-P3
12	P4-O2	P7 (T5)-O1	P3-O1
13	Fp2-F8	Fp2-F8	Fp2-F4
14	F8-T8 (T4)	F8-T8 (T4)	F4-C4
15	T8 (T4)-P8 (T6)	T8 (T4)-P8 (T6)	C4-P4
16	P8 (T6)-O2	P8 (T6)-O2	P4-O2